Ein und Ausgabe: Farbmetrisches Drucker-Reflektiv-System FRS09_92, L*=09_92 für relativen CIELAB-Buntton $h^* = lab^*h^* = h_{ab}/360 = 0.451$ $u^*_\varepsilon = g00b$

Daten für jede Farbe:
*lab*ch** und *lab*icu**
Buntontexte:
u^*_ε = *g00b* u^*_d = *i23c*
Kontrastreduzierungsfaktor:
c_R = 1.0
Dreiecks-Helligkeit *t**

Daten für Maximalfarbe (Ma):
LAB*LAB*Ma: 48 −49 16
LAB*LCH*Ma: 48 52 162
lab*rgb*Ma: 0.0 1.0 0.0
lab*olv*Ma: 0.0 1.0 0.23
Dreiecks-Helligkeit *t**

%Umfang u^*_{uv} = 109
%Regularität $g^*_{H,rel}$ = 31
$g^*_{C,rel}$ = 40

FRS09_92a; adaptierte CIELAB-Daten

u^*_ε	L^*_{ICC}	a^*_{ICC}	b^*_{ICC}	$C^*_{ab,a}$	$h^*_{ab,a}$	u^*_d
O_{Min}	35.06	60.0	44.0	74.4	36	
Y_{Mi}	83.77	−5.17	109.32	109.44	93	
L_{Mi}	44.13	−62.67	48.24	79.09	142	
C_{Mi}	52.66	−29.14	−31.99	43.27	228	
V_{Mi}	14.15	50.3	−59.04	77.57	310	
M_{Ma}	37.37	78.64	−33.5	85.48	337	
N_{Bl}	8.58	0.0	0.0	0.0	0	
W_{Hi}	92.02	0.0	0.0	0.0	0	
R_{CH}	39.92	58.74	27.99	65.07	25	
I_{CH}	81.26	−2.89	71.56	71.62	92	
C_{CH}	52.23	−42.42	13.6	44.55	162	
B_{CH}	30.57	1.41	−46.47	46.49	272	

u^*_ε	L^*_{ICC}	a^*_{ICC}	b^*_{ICC}	$C^*_{ab,a}$	$h^*_{ab,a}$	u^*_d
r00j	35.47	63.32	30.17	70.15	25	*m81c*
r25j	39.12	54.56	49.45	73.64	42	*o10y*
r50j	50.64	39.15	64.89	75.79	59	*o40y*
r75j	64.01	21.26	82.83	85.52	76	*o69y*
j00g	83.18	−4.38	108.53	108.62	92	*o98y*
j25g	66.73	−29.89	83.06	88.28	110	*y34f*
j50g	54.03	−48.31	63.49	79.78	127	*y69f*
j75g	44.73	−60.33	42.64	73.88	145	*l03c*
g00b	47.59	−49.08	15.74	51.54	162	*l23c*
g25b	49.97	−39.7	−6.72	40.27	190	*l55c*
g50b	51.85	−32.33	−24.35	40.48	217	*l87c*
g75b	46.92	−17.29	−36.02	39.96	244	*c20v*
b00r	37.91	1.28	−42.35	42.37	272	*c53v*
b25r	23.81	30.38	−52.26	60.45	300	*c87v*
b50r	29.52	69.06	−42.14	80.9	329	*v68m*
b75r	36.48	71.47	−3.69	71.57	357	*m34o*

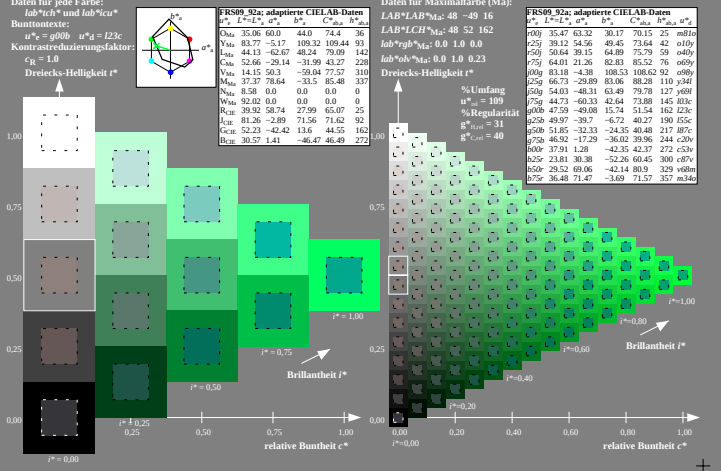

Ein und Ausgabe: Farbmetrisches Drucker-Reflektiv-System FRS09_92, L*=09_92 für relativen CIELAB-Buntton $h^* = lab^*h^* = h_{ab}/360 = 0.527$ $u^*_\varepsilon = g25b$

Daten für jede Farbe:
*lab*ch** und *lab*icu**
Buntontexte:
u^*_ε = *g25b* u^*_d = *l55c*
Kontrastreduzierungsfaktor:
c_R = 1.0
Dreiecks-Helligkeit *t**

Daten für Maximalfarbe (Ma):
LAB*LAB*Ma: 50 −40 −7
LAB*LCH*Ma: 50 40 189
lab*rgb*Ma: 0.0 1.0 0.5
lab*olv*Ma: 0.0 1.0 0.55
Dreiecks-Helligkeit *t**

%Umfang u^*_{uv} = 109
%Regularität $g^*_{H,rel}$ = 31
$g^*_{C,rel}$ = 40

FRS09_92a; adaptierte CIELAB-Daten

u^*_ε	L^*_{ICC}	a^*_{ICC}	b^*_{ICC}	$C^*_{ab,a}$	$h^*_{ab,a}$	u^*_d
O_{Min}	35.06	60.0	44.0	74.4	36	
Y_{Mi}	83.77	−5.17	109.32	109.44	93	
L_{Mi}	44.13	−62.67	48.24	79.09	142	
C_{Mi}	52.66	−29.14	−31.99	43.27	228	
V_{Mi}	14.15	50.3	−59.04	77.57	310	
M_{Ma}	37.37	78.64	−33.5	85.48	337	
N_{Bl}	8.58	0.0	0.0	0.0	0	
W_{Hi}	92.02	0.0	0.0	0.0	0	
R_{CH}	39.92	58.74	27.99	65.07	25	
I_{CH}	81.26	−2.89	71.56	71.62	92	
C_{CH}	52.23	−42.42	13.6	44.55	162	
B_{CH}	30.57	1.41	−46.47	46.49	272	

u^*_ε	L^*_{ICC}	a^*_{ICC}	b^*_{ICC}	$C^*_{ab,a}$	$h^*_{ab,a}$	u^*_d
r00j	35.47	63.32	30.17	70.15	25	*m81c*
r25j	39.12	54.56	49.45	73.64	42	*o10y*
r50j	50.64	39.15	64.89	75.79	59	*o40y*
r75j	64.01	21.26	82.83	85.52	76	*o69y*
j00g	83.18	−4.38	108.53	108.62	92	*o98y*
j25g	66.73	−29.89	83.06	88.28	110	*y34f*
j50g	54.03	−48.31	63.49	79.78	127	*y69f*
j75g	44.73	−60.33	42.64	73.88	145	*l03c*
g00b	47.59	−49.08	15.74	51.54	162	*l23c*
g25b	49.97	−39.7	−6.72	40.27	190	*l55c*
g50b	51.85	−32.33	−24.35	40.48	217	*l87c*
g75b	46.92	−17.29	−36.02	39.96	244	*c20v*
b00r	37.91	1.28	−42.35	42.37	272	*c53v*
b25r	23.81	30.38	−52.26	60.45	300	*c87v*
b50r	29.52	69.06	−42.14	80.9	329	*v68m*
b75r	36.48	71.47	−3.69	71.57	357	*m34o*

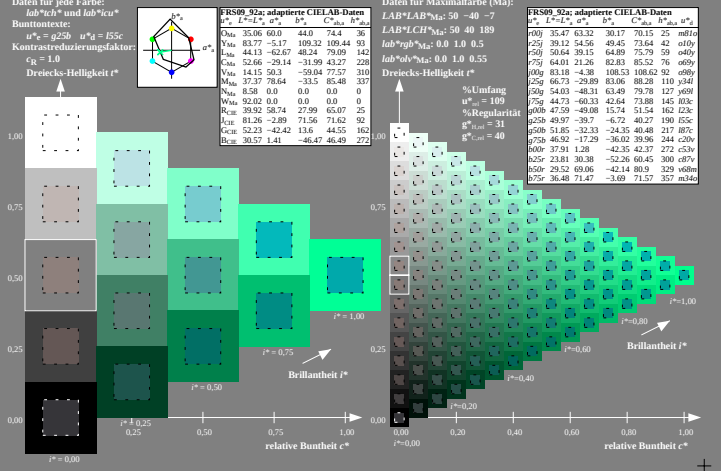

Ein und Ausgabe: Farbmetrisches Drucker-Reflektiv-System FRS09_92, L*=09_92 für relativen CIELAB-Buntton $h^* = lab^*h^* = h_{ab}/360 = 0.603$ $u^*_\varepsilon = g50b$

Daten für jede Farbe:
*lab*ch** und *lab*icu**
Buntontexte:
u^*_ε = *g50b* u^*_d = *l87c*
Kontrastreduzierungsfaktor:
c_R = 1.0
Dreiecks-Helligkeit *t**

Daten für Maximalfarbe (Ma):
LAB*LAB*Ma: 52 −32 −24
LAB*LCH*Ma: 52 40 216
lab*rgb*Ma: 0.0 1.0 1.0
lab*olv*Ma: 0.0 1.0 0.87
Dreiecks-Helligkeit *t**

%Umfang u^*_{uv} = 109
%Regularität $g^*_{H,rel}$ = 31
$g^*_{C,rel}$ = 40

FRS09_92a; adaptierte CIELAB-Daten

u^*_ε	L^*_{ICC}	a^*_{ICC}	b^*_{ICC}	$C^*_{ab,a}$	$h^*_{ab,a}$	u^*_d
O_{Min}	35.06	60.0	44.0	74.4	36	
Y_{Mi}	83.77	−5.17	109.32	109.44	93	
L_{Mi}	44.13	−62.67	48.24	79.09	142	
C_{Mi}	52.66	−29.14	−31.99	43.27	228	
V_{Mi}	14.15	50.3	−59.04	77.57	310	
M_{Ma}	37.37	78.64	−33.5	85.48	337	
N_{Bl}	8.58	0.0	0.0	0.0	0	
W_{Hi}	92.02	0.0	0.0	0.0	0	
R_{CH}	39.92	58.74	27.99	65.07	25	
I_{CH}	81.26	−2.89	71.56	71.62	92	
C_{CH}	52.23	−42.42	13.6	44.55	162	
B_{CH}	30.57	1.41	−46.47	46.49	272	

u^*_ε	L^*_{ICC}	a^*_{ICC}	b^*_{ICC}	$C^*_{ab,a}$	$h^*_{ab,a}$	u^*_d
r00j	35.47	63.32	30.17	70.15	25	*m81c*
r25j	39.12	54.56	49.45	73.64	42	*o10y*
r50j	50.64	39.15	64.89	75.79	59	*o40y*
r75j	64.01	21.26	82.83	85.52	76	*o69y*
j00g	83.18	−4.38	108.53	108.62	92	*o98y*
j25g	66.73	−29.89	83.06	88.28	110	*y34f*
j50g	54.03	−48.31	63.49	79.78	127	*y69f*
j75g	44.73	−60.33	42.64	73.88	145	*l03c*
g00b	47.59	−49.08	15.74	51.54	162	*l23c*
g25b	49.97	−39.7	−6.72	40.27	190	*l55c*
g50b	51.85	−32.33	−24.35	40.48	217	*l87c*
g75b	46.92	−17.29	−36.02	39.96	244	*c20v*
b00r	37.91	1.28	−42.35	42.37	272	*c53v*
b25r	23.81	30.38	−52.26	60.45	300	*c87v*
b50r	29.52	69.06	−42.14	80.9	329	*v68m*
b75r	36.48	71.47	−3.69	71.57	357	*m34o*

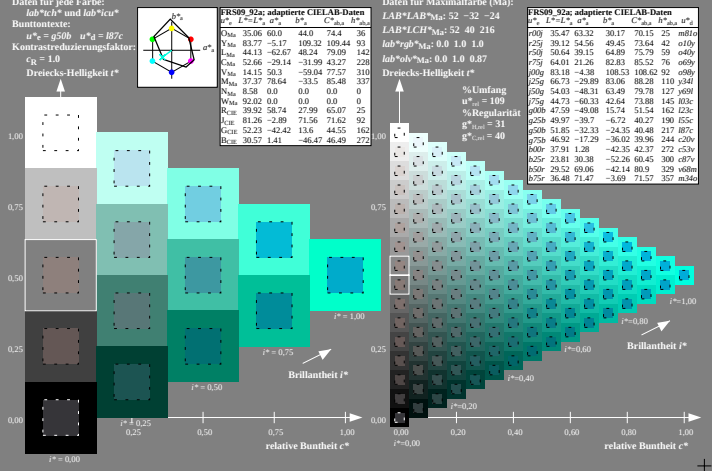

Ein und Ausgabe: Farbmetrisches Drucker-Reflektiv-System FRS09_92, L*=09_92 für relativen CIELAB-Buntton $h^* = lab^*h^* = h_{ab}/360 = 0.679$ $u^*_\varepsilon = g75b$

Daten für jede Farbe:
*lab*ch** und *lab*icu**
Buntontexte:
u^*_ε = *g75b* u^*_d = *c20v*
Kontrastreduzierungsfaktor:
c_R = 1.0
Dreiecks-Helligkeit *t**

Daten für Maximalfarbe (Ma):
LAB*LAB*Ma: 47 −17 −36
LAB*LCH*Ma: 47 40 244
lab*rgb*Ma: 0.0 0.5 1.0
lab*olv*Ma: 0.0 0.8 1.0
Dreiecks-Helligkeit *t**

%Umfang u^*_{uv} = 109
%Regularität $g^*_{H,rel}$ = 31
$g^*_{C,rel}$ = 40

FRS09_92a; adaptierte CIELAB-Daten

u^*_ε	L^*_{ICC}	a^*_{ICC}	b^*_{ICC}	$C^*_{ab,a}$	$h^*_{ab,a}$	u^*_d
O_{Min}	35.06	60.0	44.0	74.4	36	
Y_{Mi}	83.77	−5.17	109.32	109.44	93	
L_{Mi}	44.13	−62.67	48.24	79.09	142	
C_{Mi}	52.66	−29.14	−31.99	43.27	228	
V_{Mi}	14.15	50.3	−59.04	77.57	310	
M_{Ma}	37.37	78.64	−33.5	85.48	337	
N_{Bl}	8.58	0.0	0.0	0.0	0	
W_{Hi}	92.02	0.0	0.0	0.0	0	
R_{CH}	39.92	58.74	27.99	65.07	25	
I_{CH}	81.26	−2.89	71.56	71.62	92	
C_{CH}	52.23	−42.42	13.6	44.55	162	
B_{CH}	30.57	1.41	−46.47	46.49	272	

u^*_ε	L^*_{ICC}	a^*_{ICC}	b^*_{ICC}	$C^*_{ab,a}$	$h^*_{ab,a}$	u^*_d
r00j	35.47	63.32	30.17	70.15	25	*m81c*
r25j	39.12	54.56	49.45	73.64	42	*o10y*
r50j	50.64	39.15	64.89	75.79	59	*o40y*
r75j	64.01	21.26	82.83	85.52	76	*o69y*
j00g	83.18	−4.38	108.53	108.62	92	*o98y*
j25g	66.73	−29.89	83.06	88.28	110	*y34f*
j50g	54.03	−48.31	63.49	79.78	127	*y69f*
j75g	44.73	−60.33	42.64	73.88	145	*l03c*
g00b	47.59	−49.08	15.74	51.54	162	*l23c*
g25b	49.97	−39.7	−6.72	40.27	190	*l55c*
g50b	51.85	−32.33	−24.35	40.48	217	*l87c*
g75b	46.92	−17.29	−36.02	39.96	244	*c20v*
b00r	37.91	1.28	−42.35	42.37	272	*c53v*
b25r	23.81	30.38	−52.26	60.45	300	*c87v*
b50r	29.52	69.06	−42.14	80.9	329	*v68m*
b75r	36.48	71.47	−3.69	71.57	357	*m34o*

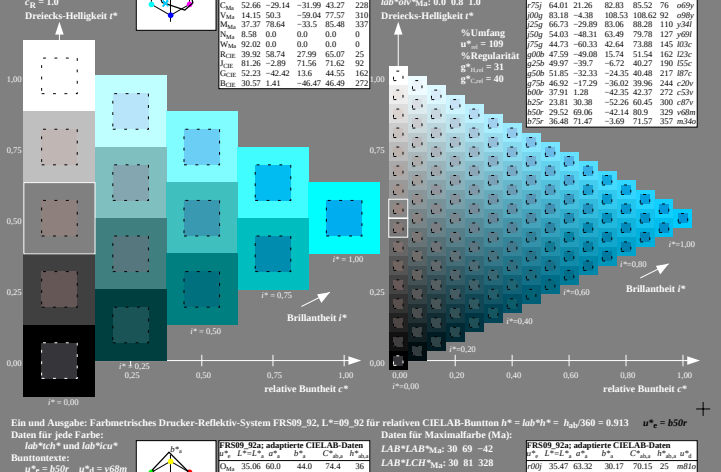

Ein und Ausgabe: Farbmetrisches Drucker-Reflektiv-System FRS09_92, L*=09_92 für relativen CIELAB-Buntton $h^* = lab^*h^* = h_{ab}/360 = 0.755$ $u^*_\varepsilon = b00r$

Daten für jede Farbe:
*lab*ch** und *lab*icu**
Buntontexte:
u^*_ε = *b00r* u^*_d = *c53v*
Kontrastreduzierungsfaktor:
c_R = 1.0
Dreiecks-Helligkeit *t**

Daten für Maximalfarbe (Ma):
LAB*LAB*Ma: 38 1 −42
LAB*LCH*Ma: 38 42 271
lab*rgb*Ma: 0.0 0.0 1.0
lab*olv*Ma: 0.0 0.47 1.0
Dreiecks-Helligkeit *t**

%Umfang u^*_{uv} = 109
%Regularität $g^*_{H,rel}$ = 31
$g^*_{C,rel}$ = 40

FRS09_92a; adaptierte CIELAB-Daten

u^*_ε	L^*_{ICC}	a^*_{ICC}	b^*_{ICC}	$C^*_{ab,a}$	$h^*_{ab,a}$	u^*_d
O_{Min}	35.06	60.0	44.0	74.4	36	
Y_{Mi}	83.77	−5.17	109.32	109.44	93	
L_{Mi}	44.13	−62.67	48.24	79.09	142	
C_{Mi}	52.66	−29.14	−31.99	43.27	228	
V_{Mi}	14.15	50.3	−59.04	77.57	310	
M_{Ma}	37.37	78.64	−33.5	85.48	337	
N_{Bl}	8.58	0.0	0.0	0.0	0	
W_{Hi}	92.02	0.0	0.0	0.0	0	
R_{CH}	39.92	58.74	27.99	65.07	25	
I_{CH}	81.26	−2.89	71.56	71.62	92	
C_{CH}	52.23	−42.42	13.6	44.55	162	
B_{CH}	30.57	1.41	−46.47	46.49	272	

u^*_ε	L^*_{ICC}	a^*_{ICC}	b^*_{ICC}	$C^*_{ab,a}$	$h^*_{ab,a}$	u^*_d
r00j	35.47	63.32	30.17	70.15	25	*m81c*
r25j	39.12	54.56	49.45	73.64	42	*o10y*
r50j	50.64	39.15	64.89	75.79	59	*o40y*
r75j	64.01	21.26	82.83	85.52	76	*o69y*
j00g	83.18	−4.38	108.53	108.62	92	*o98y*
j25g	66.73	−29.89	83.06	88.28	110	*y34f*
j50g	54.03	−48.31	63.49	79.78	127	*y69f*
j75g	44.73	−60.33	42.64	73.88	145	*l03c*
g00b	47.59	−49.08	15.74	51.54	162	*l23c*
g25b	49.97	−39.7	−6.72	40.27	190	*l55c*
g50b	51.85	−32.33	−24.35	40.48	217	*l87c*
g75b	46.92	−17.29	−36.02	39.96	244	*c20v*
b00r	37.91	1.28	−42.35	42.37	272	*c53v*
b25r	23.81	30.38	−52.26	60.45	300	*c87v*
b50r	29.52	69.06	−42.14	80.9	329	*v68m*
b75r	36.48	71.47	−3.69	71.57	357	*m34o*

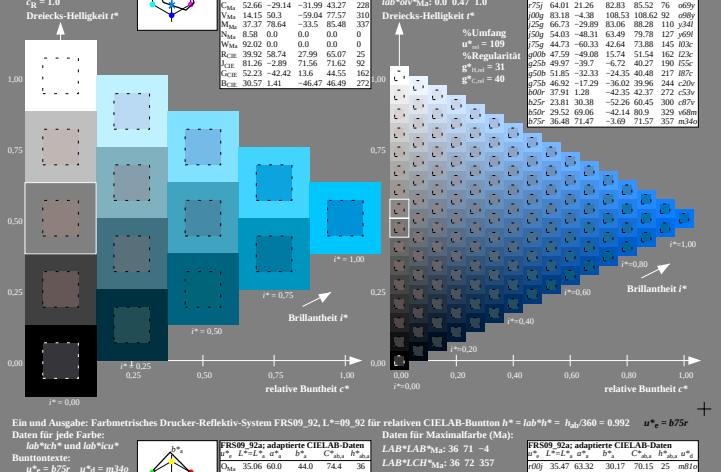

Ein und Ausgabe: Farbmetrisches Drucker-Reflektiv-System FRS09_92, L*=09_92 für relativen CIELAB-Buntton $h^* = lab^*h^* = h_{ab}/360 = 0.834$ $u^*_\varepsilon = b25r$

Daten für jede Farbe:
*lab*ch** und *lab*icu**
Buntontexte:
u^*_ε = *b25r* u^*_d = *c87v*
Kontrastreduzierungsfaktor:
c_R = 1.0
Dreiecks-Helligkeit *t**

Daten für Maximalfarbe (Ma):
LAB*LAB*Ma: 24 30 −52
LAB*LCH*Ma: 24 60 300
lab*rgb*Ma: 0.5 0.0 1.0
lab*olv*Ma: 0.0 0.12 1.0
Dreiecks-Helligkeit *t**

%Umfang u^*_{uv} = 109
%Regularität $g^*_{H,rel}$ = 31
$g^*_{C,rel}$ = 40

FRS09_92a; adaptierte CIELAB-Daten

u^*_ε	L^*_{ICC}	a^*_{ICC}	b^*_{ICC}	$C^*_{ab,a}$	$h^*_{ab,a}$	u^*_d
O_{Min}	35.06	60.0	44.0	74.4	36	
Y_{Mi}	83.77	−5.17	109.32	109.44	93	
L_{Mi}	44.13	−62.67	48.24	79.09	142	
C_{Mi}	52.66	−29.14	−31.99	43.27	228	
V_{Mi}	14.15	50.3	−59.04	77.57	310	
M_{Ma}	37.37	78.64	−33.5	85.48	337	
N_{Bl}	8.58	0.0	0.0	0.0	0	
W_{Hi}	92.02	0.0	0.0	0.0	0	
R_{CH}	39.92	58.74	27.99	65.07	25	
I_{CH}	81.26	−2.89	71.56	71.62	92	
C_{CH}	52.23	−42.42	13.6	44.55	162	
B_{CH}	30.57	1.41	−46.47	46.49	272	

u^*_ε	L^*_{ICC}	a^*_{ICC}	b^*_{ICC}	$C^*_{ab,a}$	$h^*_{ab,a}$	u^*_d
r00j	35.47	63.32	30.17	70.15	25	*m81c*
r25j	39.12	54.56	49.45	73.64	42	*o10y*
r50j	50.64	39.15	64.89	75.79	59	*o40y*
r75j	64.01	21.26	82.83	85.52	76	*o69y*
j00g	83.18	−4.38	108.53	108.62	92	*o98y*
j25g	66.73	−29.89	83.06	88.28	110	*y34f*
j50g	54.03	−48.31	63.49	79.78	127	*y69f*
j75g	44.73	−60.33	42.64	73.88	145	*l03c*
g00b	47.59	−49.08	15.74	51.54	162	*l23c*
g25b	49.97	−39.7	−6.72	40.27	190	*l55c*
g50b	51.85	−32.33	−24.35	40.48	217	*l87c*
g75b	46.92	−17.29	−36.02	39.96	244	*c20v*
b00r	37.91	1.28	−42.35	42.37	272	*c53v*
b25r	23.81	30.38	−52.26	60.45	300	*c87v*
b50r	29.52	69.06	−42.14	80.9	329	*v68m*
b75r	36.48	71.47	−3.69	71.57	357	*m34o*

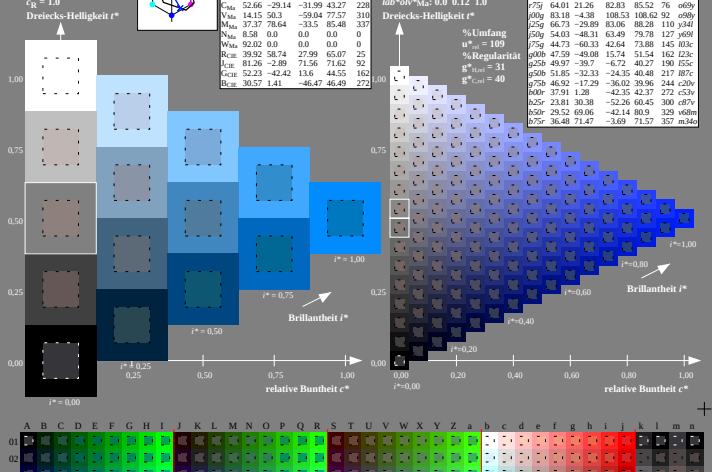

Ein und Ausgabe: Farbmetrisches Drucker-Reflektiv-System FRS09_92, L*=09_92 für relativen CIELAB-Buntton $h^* = lab^*h^* = h_{ab}/360 = 0.913$ $u^*_\varepsilon = b50r$

Daten für jede Farbe:
*lab*ch** und *lab*icu**
Buntontexte:
u^*_ε = *b50r* u^*_d = *v68m*
Kontrastreduzierungsfaktor:
c_R = 1.0
Dreiecks-Helligkeit *t**

Daten für Maximalfarbe (Ma):
LAB*LAB*Ma: 30 69 −42
LAB*LCH*Ma: 30 81 328
lab*rgb*Ma: 1.0 0.0 1.0
lab*olv*Ma: 0.69 0.0 1.0
Dreiecks-Helligkeit *t**

%Umfang u^*_{uv} = 109
%Regularität $g^*_{H,rel}$ = 31
$g^*_{C,rel}$ = 40

FRS09_92a; adaptierte CIELAB-Daten

u^*_ε	L^*_{ICC}	a^*_{ICC}	b^*_{ICC}	$C^*_{ab,a}$	$h^*_{ab,a}$	u^*_d
O_{Min}	35.06	60.0	44.0	74.4	36	
Y_{Mi}	83.77	−5.17	109.32	109.44	93	
L_{Mi}	44.13	−62.67	48.24	79.09	142	
C_{Mi}	52.66	−29.14	−31.99	43.27	228	
V_{Mi}	14.15	50.3	−59.04	77.57	310	
M_{Ma}	37.37	78.64	−33.5	85.48	337	
N_{Bl}	8.58	0.0	0.0	0.0	0	
W_{Hi}	92.02	0.0	0.0	0.0	0	
R_{CH}	39.92	58.74	27.99	65.07	25	
I_{CH}	81.26	−2.89	71.56	71.62	92	
C_{CH}	52.23	−42.42	13.6	44.55	162	
B_{CH}	30.57	1.41	−46.47	46.49	272	

u^*_ε	L^*_{ICC}	a^*_{ICC}	b^*_{ICC}	$C^*_{ab,a}$	$h^*_{ab,a}$	u^*_d
r00j	35.47	63.32	30.17	70.15	25	*m81c*
r25j	39.12	54.56	49.45	73.64	42	*o10y*
r50j	50.64	39.15	64.89	75.79	59	*o40y*
r75j	64.01	21.26	82.83	85.52	76	*o69y*
j00g	83.18	−4.38	108.53	108.62	92	*o98y*
j25g	66.73	−29.89	83.06	88.28	110	*y34f*
j50g	54.03	−48.31	63.49	79.78	127	*y69f*
j75g	44.73	−60.33	42.64	73.88	145	*l03c*
g00b	47.59	−49.08	15.74	51.54	162	*l23c*
g25b	49.97	−39.7	−6.72	40.27	190	*l55c*
g50b	51.85	−32.33	−24.35	40.48	217	*l87c*
g75b	46.92	−17.29	−36.02	39.96	244	*c20v*
b00r	37.91	1.28	−42.35	42.37	272	*c53v*
b25r	23.81	30.38	−52.26	60.45	300	*c87v*
b50r	29.52	69.06	−42.14	80.9	329	*v68m*
b75r	36.48	71.47	−3.69	71.57	357	*m34o*

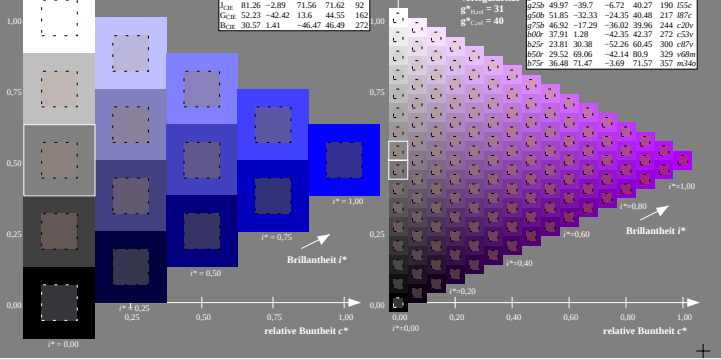

Ein und Ausgabe: Farbmetrisches Drucker-Reflektiv-System FRS09_92, L*=09_92 für relativen CIELAB-Buntton $h^* = lab^*h^* = h_{ab}/360 = 0.992$ $u^*_\varepsilon = b75r$

Daten für jede Farbe:
*lab*ch** und *lab*icu**
Buntontexte:
u^*_ε = *b75r* u^*_d = *m34o*
Kontrastreduzierungsfaktor:
c_R = 1.0
Dreiecks-Helligkeit *t**

Daten für Maximalfarbe (Ma):
LAB*LAB*Ma: 36 71 −4
LAB*LCH*Ma: 36 72 357
lab*rgb*Ma: 1.0 0.0 0.5
lab*olv*Ma: 1.0 0.0 0.66
Dreiecks-Helligkeit *t**

%Umfang u^*_{uv} = 109
%Regularität $g^*_{H,rel}$ = 31
$g^*_{C,rel}$ = 40

FRS09_92a; adaptierte CIELAB-Daten

u^*_ε	L^*_{ICC}	a^*_{ICC}	b^*_{ICC}	$C^*_{ab,a}$	$h^*_{ab,a}$	u^*_d
O_{Min}	35.06	60.0	44.0	74.4	36	
Y_{Mi}	83.77	−5.17	109.32	109.44	93	
L_{Mi}	44.13	−62.67	48.24	79.09	142	
C_{Mi}	52.66	−29.14	−31.99	43.27	228	
V_{Mi}	14.15	50.3	−59.04	77.57	310	
M_{Ma}	37.37	78.64	−33.5	85.48	337	
N_{Bl}	8.58	0.0	0.0	0.0	0	
W_{Hi}	92.02	0.0	0.0	0.0	0	
R_{CH}	39.92	58.74	27.99	65.07	25	
I_{CH}	81.26	−2.89	71.56	71.62	92	
C_{CH}	52.23	−42.42	13.6	44.55	162	
B_{CH}	30.57	1.41	−46.47	46.49	272	
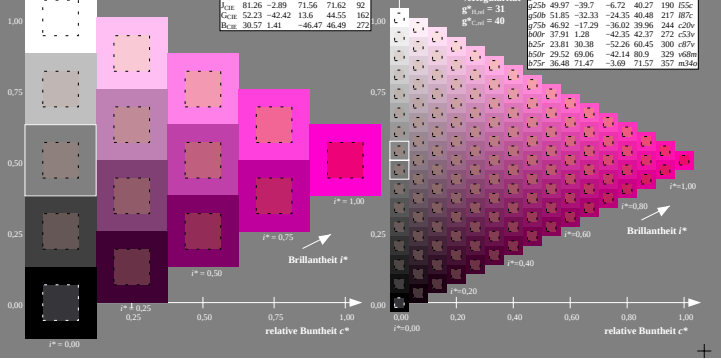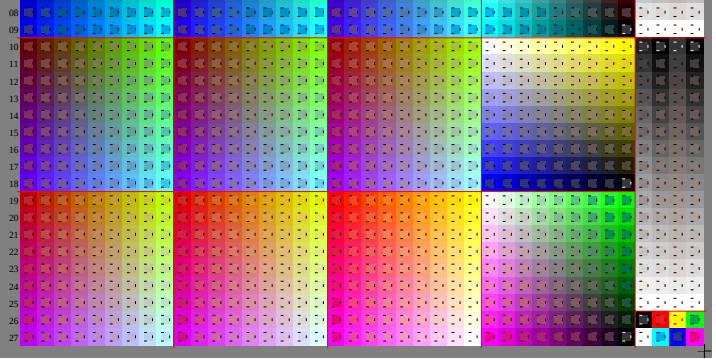
u^*_ε	L^*_{ICC}	a^*_{ICC}	b^*_{ICC}	$C^*_{ab,a}$	$h^*_{ab,a}$	u^*_d
r00j	35.47	63.32	30.17	70.15	25	*m81c*
r25j	39.12	54.56	49.45	73.64	42	*o10y*
r50j	50.64	39.15	64.89	75.79	59	*o40y*
r75j	64.01	21.26	82.83	85.52	76	*o69y*
j00g	83.18	−4.38	108.53	108.62	92	*o98y*
j25g	66.73	−29.89	83.06	88.28	110	*y34f*
j50g	54.03	−48.31	63.49	79.78	127	*y69f*
j75g	44.73	−60.33	42.64	73.88	145	*l03c*
g00b	47.59	−49.08	15.74	51.54	162	*l23c*
g25b	49.97	−39.7	−6.72	40.27	190	*l55c*
g50b	51.85	−32.33	−24.35	40.48	217	*l87c*
g75b	46.92	−17.29	−36.02	39.96	244	*c20v*
b00r	37.91	1.28	−42.35	42.37	272	*c53v*
b25r	23.81	30.38	−52.26	60.45	300	*c87v*
b50r	29.52	69.06	−42.14	80.9	329	*v68m*
b75r	36.48	71.47	−3.69	71.57	357	*m34o*